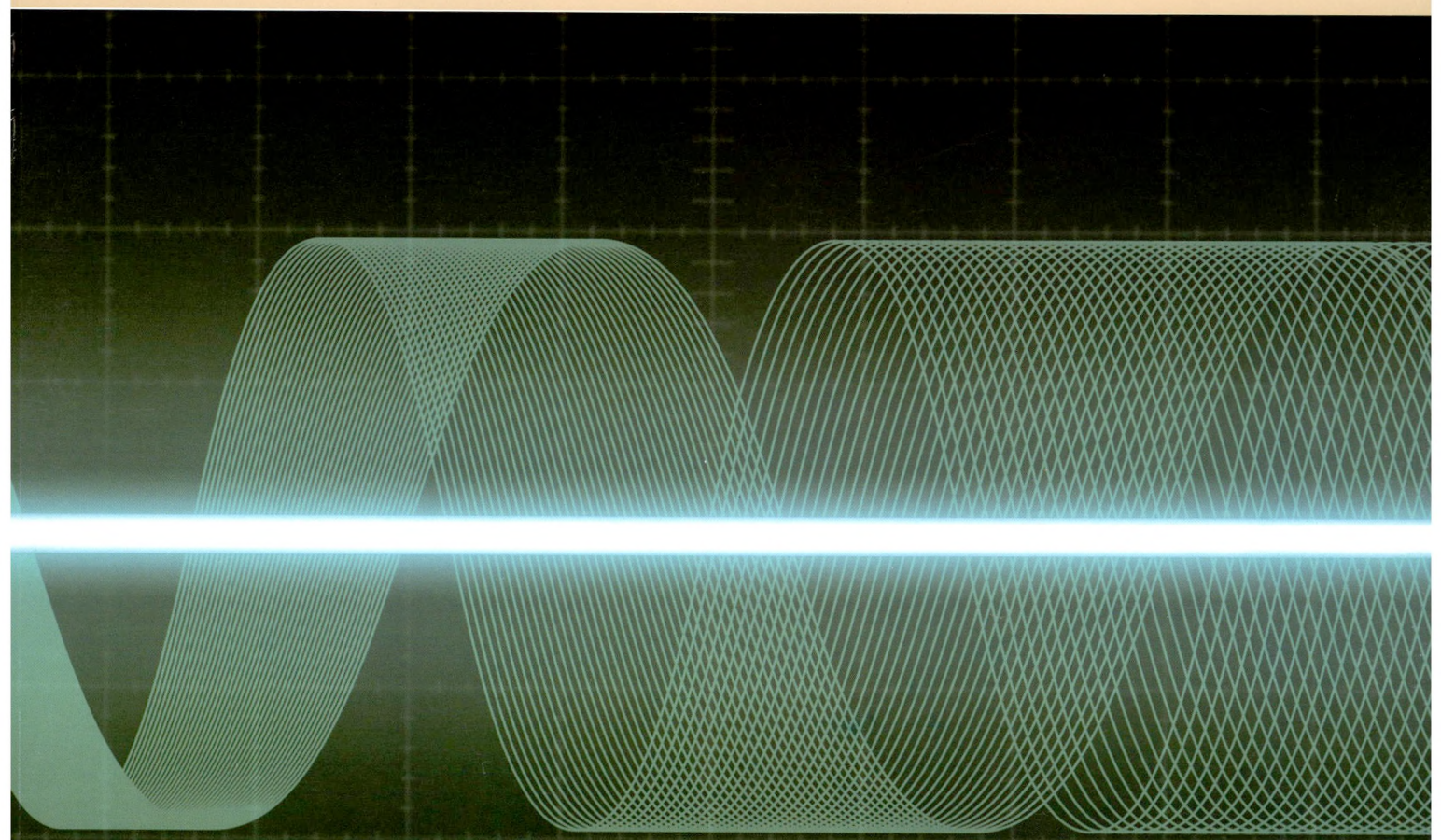


QK2045970

ISSN 1000-3835
CN 31-1316/TU

振动与冲击

JOURNAL OF VIBRATION AND SHOCK



ZHENDONG YU CHONGJI

半月刊 | 第39卷 | **18/2020**

ISSN 1000-3835



万方数据

中国振动工程学会
上海交通大学 主办
上海市振动工程学会

目 次

- 桨叶弹性对螺旋桨轴承力影响及计算方法研究…………… 李家盛, 张振果, 田 锦, 等 (1)
- 不同受火方式后混凝土短柱的抗震性能 …………… 徐玉野, 陈雅熙, 鄢 豹, 等 (11)
- 非高斯风压极值估计: 基于矩的转换过程法的抽样误差对比研究…………… 吴风波, 黄国庆, 刘 敏, 等 (20)
- 支承非对称对双转子系统动力特性的影响规律 …………… 王 杰, 左彦飞, 江志农, 等 (27)
- 高速列车轴箱轴承多故障滚动体振动模型及其缺陷定位方法 …………… 黄晨光, 张 兵, 易 彩, 等 (34)
- 饱和砂土中直群桩及土体地震动力响应特征研究 …………… 闫志晓, 李雨润, 张 健 (44)
- 带有非对称势能阱特性的双稳态能量采集系统混沌动力学分析 …………… 李海涛, 丁 虎, 陈立群 (54)
- 基于自适应噪声参数优化 ELMD 的行星齿轮箱故障诊断研究 …………… 王朝阁, 李宏坤, 杨 蕊, 等 (60)
- TC4 钛合金力学性能测试及其本构关系研究 …………… 邓云飞, 张 永, 安静丹 (70)
- 层状半空间中多层沉积谷地时域地震响应分析 …………… 巴振宁, 王 莹, 梁建文 (78)
- 负泊松比内凹环形蜂窝结构的冲击响应特性研究 …………… 沈振峰, 张新春, 白江畔, 等 (89)
- 基于标准正交判别投影的转子故障数据集降维方法 …………… 石明宽, 赵荣珍 (96)
- 基于 WCSPH-SPIM 流固耦合模型的弹性体入水模拟 …………… 施书文, 张桂勇, 王双强, 等 (103)
- 考虑刚-液耦合的大幅晃动多体系统动力学建模与分析…………… 张诗琪, 刘锦阳 (109)
- 基于 MED 与自相关谱峭度图的滚动轴承故障诊断方法 …………… 王兴龙, 郑近德, 潘海洋, 等 (118)
- 弹性边界与边缘场对静电微梁谐振器非线性动力学影响研究…………… 常云霞, 张琪昌, 韩建鑫 (125)
- 海洋立管触地段横向地震动响应的试验研究…………… 代云云, 李志刚, 冯 新, 等 (132)
- 基于柔性铰链的超磁致伸缩旋转驱动器角位移分析…………… 周景涛, 何忠波, 柏 果, 等 (138)
- 冲击载荷下多胞元薄壁结构的动态压溃行为研究…………… 白江畔, 张新春, 沈振峰, 等 (145)
- 基于 GAN 样本生成技术的智能诊断方法 …………… 马 波, 蔡伟东, 赵大力 (153)
- 大跨度异型钢管混凝土拱桥典型病害分析及支座脱空影响研究…………… 侯剑岭, 许维炳, 陈彦江, 等 (161)
- 航天飞行器爆炸冲击环境减缓技术研究…………… 张正平, 秦朝红, 肖 健, 等 (169)
- 宽扁肥大船型波激振动响应研究…………… 王一雯, 吴卫国, 郑 成 (174)

| | |
|---|------------------------|
| 压力调节锥阀开启过程振动特性研究····· | 闵 为, 王 东, 郑 直, 等 (181) |
| 槽口 - 无黏结接缝与平界面接缝预制剪力墙抗震性能对比····· | 孙崇芳, 梁书亭, 朱筱俊, 等 (188) |
| 滚石冲击棚洞砂土垫层物理模型试验及数值模拟研究····· | 王东坡, 周良坤, 裴向军, 等 (195) |
| 垫座及扩大基础对高拱坝抗震性能的影响分析 ····· | 陈健云, 刘晓蓬, 李 静, 等 (203) |
| C/SiC 箱型结构的热模态试验研究 ····· | 于开平, 郑博文, 陈晓岚, 等 (209) |
| 热效应对径向浮环轴承最小油膜厚度及稳定性影响研究····· | 杨 帅, 郭 红, 张泽斌 (215) |
| 岔区轨件打磨对高速列车动力特性影响分析····· | 张鹏飞, 朱旭东, 雷晓燕, 等 (223) |
| Q355B 钢动态材料性能研究····· | 林 莉, 黄 博, 肖新科, 等 (231) |
| 考虑轮辙相干性的二维随机路面的构造方法····· | 张 哲, 王汉平, 李 倩 (238) |
| 基于冲击响应等效的燃机支撑结构冲击试验研究····· | 韩 璐, 张明远, 冯麟涵, 等 (242) |
| 基于改进 Bouc-Wen 模型的非线性结构非平稳随机地震响应分析 ····· | 郭秀秀, 李长宇, 史庆轩 (248) |
| 基于等效简化模型的柔性吊装多体系统动力响应分析····· | 颜世军, 彭 剑, 任中俊, 等 (255) |
| TBR 轮胎噪声近 - 远场点/线声源混合传播模型研究 ····· | 曹金凤, 黄 伟, 张春生, 等 (262) |
| 高层住宅电梯主机诱发的二次噪声实测与数值模拟研究····· | 左鹏飞, 王晓焕, 谢伟平, 等 (269) |
| 圆柱形爆炸容器内爆炸载荷的分布规律····· | 徐景林, 顾文彬, 刘建青, 等 (276) |

CONTENTS

| | |
|---|--|
| Mechanism of fluid-structure interaction and algorithm for calculating the bearing force of elastic propellers | LI Jiasheng, ZHANG Zhenguo, TIAN Jin, et al (1) |
| Post-fire seismic behaviors of concrete stub columns in different fire exposure cases | XU Yuye, CHEN Yaxi, YAN Bao, et al (11) |
| Extremes estimation of non-Gaussian wind pressures: a comparative study on sampling errors based on a moment-based translation process model | WU Fengbo, HUANG Guoqing, LIU Min, et al (20) |
| Effect of asymmetrical supports on the dynamic characteristics of a dual-rotor system | WANG Jie, ZUO Yanfei, JIANG Zhinong, et al (27) |
| Vibration model for axle box bearings with multiple defective rolling elements for high-speed trains and the defects localization method | HUANG Chenguang, ZHANG Bing, YI Cai, et al (34) |
| Seismic response characteristics of straight group piles and soil in saturated sand | YAN Zhixiao, LI Yurun, ZHANG Jian (44) |
| Chaotic dynamics of a bi-stable energy harvesting system with asymmetric potential well characteristics | LI Haitao, DING Hu, CHEN Liqun (54) |
| Fault diagnosis of planetary gearboxes based on adaptive parameter optimized ensemble local mean decomposition | WANG Chaoge, LI Hongkun, YANG Rui, et al (60) |
| Mechanical properties and constitutive relationship of TC4 titanium alloy | DENG Yunfei, ZHANG Yong, AN Jingdan (70) |
| Seismic response analysis of a multi-layered sedimentary valley in a layered half-space in time domain | BA Zhenning, WANG Ying, LIANG Jianwen (78) |
| Dynamic response characteristics of re-entrant circular honeycombs with negative Poisson's ratio | SHEN Zhenfeng, ZHANG Xinchun, BAI Jiangpan, et al (89) |
| Dimension reduction of a rotor faults data set based on standard orthogonal discriminant projection | SHI Mingkuan, ZHAO Rongzhen (96) |
| Numerical simulation of the water entry of an elastomer by using the WCSPH-SPIM coupled method | SHI Shuwen, ZHANG Guiyong, WANG Shuangqiang, et al (103) |
| Dynamic modeling and analysis of a liquid-filled multi-body system with large-scale amplitude sloshing considering the rigid-liquid coupling effect | ZHANG Shiqi, LIU Jinyang (109) |
| Fault diagnosis method for rolling bearings based on minimum entropy deconvolution and autograms | WANG Xinglong, ZHENG Jinde, PAN Haiyang, et al (118) |
| Influence of flexible boundary and fringing field on the nonlinear dynamic performance of electrostatic microbeam resonators | CHANG Yunxia, ZHANG Qichang, HAN Jianxin (125) |
| Experimental study on the dynamic response of a marine riser in touchdown zone under lateral earthquake | DAI Yunyun, LI Zhigang, FENG Xin, et al (132) |
| Angular displacement output of a giant magnetostrictive rotary actuator based on a flexible hinge | ZHOU Jingtao, HE Zhongbo, BAI Guo, et al (138) |
| Dynamic crushing behaviors of multi-cell thin-walled structures under out-of-plane impact | BAI Jiangpan, ZHANG Xinchun, SHEN Zhenfeng, et al (145) |

| | |
|--|--|
| Intelligent diagnosis method based on GAN sample generation technology | MA Bo, CAI Weidong, ZHAO Dali (153) |
| Typical diseases of long-span concrete filled steel tube arch bridges and the effects of the void of supports | HOU Jianling, XU Weibing, CHEN Yanjiang, et al (161) |
| Pyroshock isolation of spacecrafts | ZHANG Zhengping, QIN Zhaohong, XIAO Jian, et al (169) |
| The springing investigation of the wide flat ship type | WANG Yiwen, WU Weiguo, ZHENG Cheng (174) |
| Vibration characteristics of a pressure regulating poppet valve during opening process | MIN Wei, WANG Dong, ZHENG Zhi, et al (181) |
| Comparison of seismic performances of precast shear walls with rabbet-unbound connection and with flat interface connection | SUN Chongfang, LIANG Shuting, ZHU Xiaojun, et al (188) |
| Experimental and numerical study on rockfall impacts on sand-soil cushions | WANG Dongpo, ZHOU Liangkun, PEI Xiangjun, et al (195) |
| Influences of the cushion and extended foundation on the seismic performance of high arch dams | CHEN Jianyun, LIU Xiaopeng, LI Jing, et al (203) |
| Thermal modal test of a C/SiC box structure | YU Kaiping, ZHENG Bowen, CHEN Xiaolan, et al (209) |
| Thermal effect on the minimum film thickness and stability for a journal floating ring bearing | YANG Shuai, GUO Hong, ZHANG Zebin (215) |
| Influence of turnout rail profile grinding on the dynamic characteristics of high speed trains | ZHANG Pengfei, ZHU Xudong, LEI Xiaoyan, et al (223) |
| Behavior of dynamic material Q355B steel based on the Johnson-Cook model | LIN Li, HUANG Bo, XIAO Xinke, et al (231) |
| Model for the construction of 2D road roughness in consideration of the coherence function between different wheel tracks | ZHANG Zhe, WANG Hanping, LI Qian (238) |
| Impact test study of a gas turbine support structure based on impact response equivalence | HAN Lu, ZHANG Mingyuan, FENG Linhan, et al (242) |
| Non-stationary stochastic seismic response analysis of a non-linear structure based on an improved Bouc-Wen model | GUO Xiuxiu, LI Changyu, SHI Qingxuan (248) |
| Dynamics of a flexible multi-body hoisting system based on an equivalent simplified model | YAN Shijun, PENG Jian, REN Zhongjun, et al (255) |
| Hybrid propagation model for the TBR tire near-far field noise generated from point/line sound sources | CAO Jinfeng, HUANG Wei, ZHANG Chunsheng, et al (262) |
| Field measurement and numerical simulation on the secondary noise induced by the elevator main engine in high-rise residential buildings | ZUO Pengfei, WANG Xiaohuan, XIE Weiping, et al (269) |
| Distribution of blast loading in cylindrical explosive containment vessels | XU Jinglin, GU Wenbin, LIU Jianqing, et al (276) |

JOURNAL OF VIBRATION AND SHOCK

Vol. 39 No. 18 SEPTEMBER 2020

Editorial Office: 1954 Huashan Rd. Shanghai, 200030, China

Issuer Abroad: China National Publishing Industry Trading Corporation

(Post-Office Box No. 728, Beijing, China)

《振动与冲击》第九届编委会

主任： 华宏星

主编： 恽伟君

副主编： 朱继梅 洪钟瑜 方之楚

编委：（按拼音排序）

| | | | | | | | |
|------|-----|-----|-----|-----|-----|-----|-----|
| 毕传兴 | 曹登庆 | 陈国平 | 陈海波 | 陈洪凯 | 陈进 | 陈克安 | 陈力 |
| 陈力奋 | 陈立群 | 陈龙 | 陈天宁 | 陈兴冲 | 陈雪峰 | 陈章位 | 陈政清 |
| 程军圣 | 褚福磊 | 邓四二 | 方秦 | 方之楚 | 冯辅周 | 冯志鹏 | 高德 |
| 高金吉 | 葛耀君 | 龚兴龙 | 顾明 | 郭亚 | 郭瑜 | 贺西平 | 洪钟瑜 |
| 胡宇达 | 华宏星 | 姜万录 | 姜忻良 | 蒋伟康 | 蒋志刚 | 雷勇军 | 冷永刚 |
| 李宏男 | 李鸿光 | 李天匀 | 李夕兵 | 李小珍 | 李志农 | 练继建 | 廖广兰 |
| 刘更 | 刘宏昭 | 刘厚林 | 刘济科 | 刘锦阳 | 刘庆宽 | 刘章军 | 楼文娟 |
| 卢芳云 | 卢文波 | 陆启韶 | 陆秋海 | 吕西林 | 马辉 | 梅雪松 | 孟光 |
| 宁方立 | 欧进萍 | 庞宝君 | 彭志科 | 裘进浩 | 饶柱石 | 任伟新 | 芮筱亭 |
| 上官文斌 | 沈惠申 | 宋志刚 | 谭平 | 汤宝平 | 涂亚庆 | 王聪 | 王进廷 |
| 王志伟 | 文永蓬 | 巫世晶 | 夏禾 | 夏均忠 | 谢伟平 | 邢誉峰 | 徐鉴 |
| 徐少华 | 许金余 | 杨炳渊 | 杨德庆 | 杨绍普 | 杨世锡 | 杨智春 | 易伟建 |
| 应怀樵 | 于德介 | 余岭 | 袁慎芳 | 恽伟君 | 翟婉明 | 张德良 | 张方 |
| 张雷 | 张午 | 张志谊 | 赵学智 | 郑近德 | 郑万泔 | 支旭东 | 周岱 |
| 朱宏平 | 朱继梅 | 朱石坚 | 朱锡 | 卓卫东 | | | |

振动与冲击

主编 恽伟君

1982年创刊 公开发行

2020年9月 第18期 总第374期

2020年9月28日出版

半月刊

中国振动工程学会

主办单位

上海交通大学 上海市振动工程学会

主管单位 中国科学技术协会

编辑出版 《振动与冲击》杂志社

杂志社地址 上海市华山路1954号 上海交通大学

邮政编码 200030 电话 021-62821366

网址 <http://jvs.sjtu.edu.cn>

E-mail jvs@sjtu.edu.cn

发行范围 公开发行

印刷 上海704所印刷厂

国内发行 上海市邮政局报刊发行局

国内订购 全国各地邮政局

国外总发行 中国国际图书贸易总公司